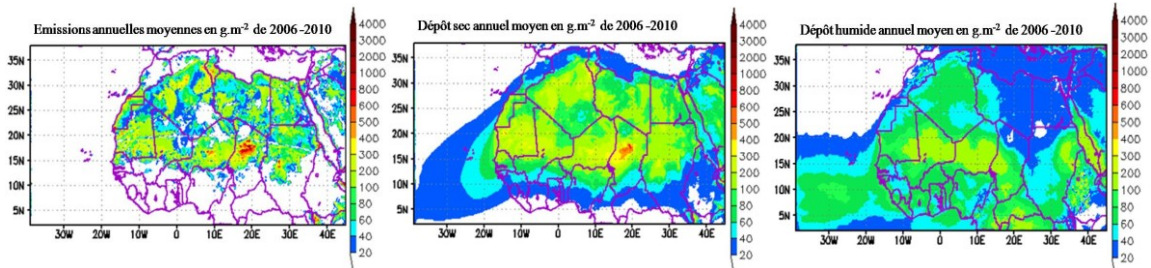


# Simulation des émissions et de transport des poussières désertiques dans Aladin

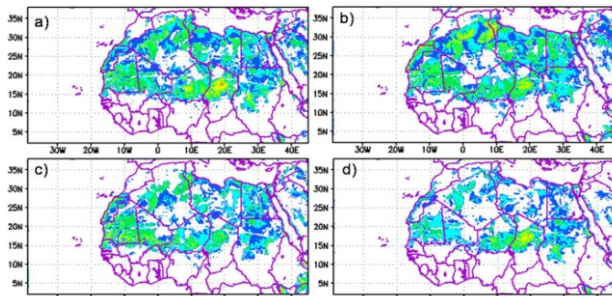
Mohamed MOKHTARI (ONM, Algérie)

[m\\_morad06@yahoo.f](mailto:m_morad06@yahoo.f) ; [m.mokhtari@meteo.dz](mailto:m.mokhtari@meteo.dz)



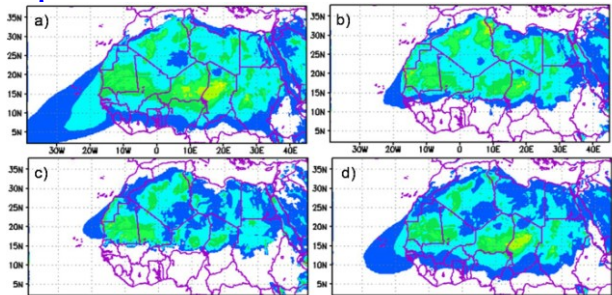
Émissions annuelles (à gauche), dépôt sec annuel (milieu) et dépôt humide annuel (à droite) des poussières désertiques simulées par ALADIN (en  $g/m^2$ ) moyenné sur la période 2006-2010 sur l'Afrique du nord

## Émissions saisonnières



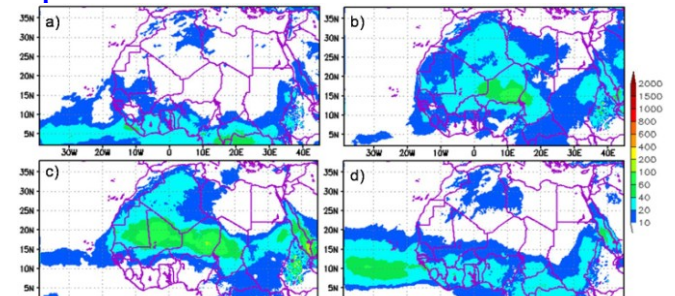
Émissions saisonnières des poussières désertiques simulées par ALADIN (en  $g/m^2$ ) moyenné sur la période 2006-2010 sur l'Afrique du nord : a) janvier-février-mars, b) avril-mai-juin, c) juillet-aout-septembre, d) octobre-novembre-décembre

## Dépôt sec saisonnier



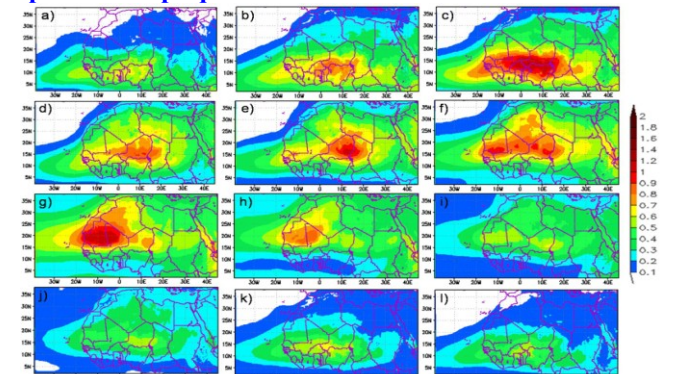
Dépôt sec saisonnier des poussières désertiques simulé par ALADIN (en  $g/m^2$ ) moyenné sur la période 2006-2010 sur l'Afrique du nord : a) janvier-février-mars, b) avril-mai-juin, c) juillet-aout-septembre, d) octobre-novembre-décembre

## Dépôt humide saisonnier



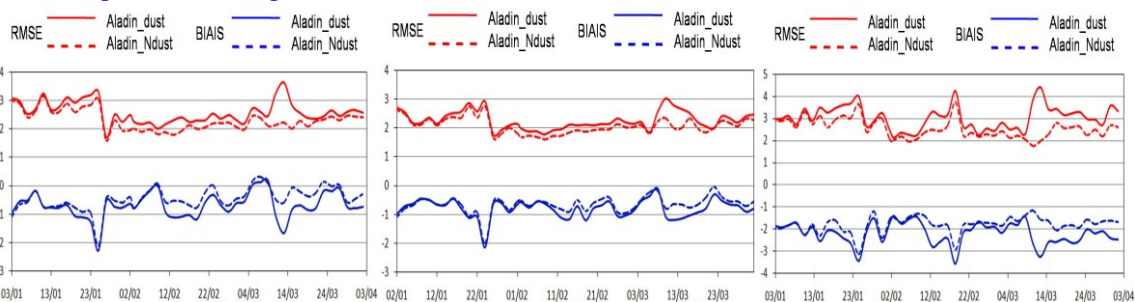
Dépôt sec saisonnier des poussières désertiques simulé par ALADIN (en  $g/m^2$ ) moyenné sur la période 2006-2010 sur l'Afrique du nord : a) janvier-février-mars, b) avril-mai-juin, c) juillet-aout-septembre, d) octobre-novembre-décembre

## Épaisseurs Optiques



Épaisseurs Optiques simulés par ALADIN moyennés sur la période 2006-2010 sur l'Afrique du nord : a) janvier, b) février, c) mars, d) avril, e) mai, f) juin, g) juillet, h) aout, i) septembre, j) octobre, k) novembre, l) décembre.

## Contrôle de paramètre température à 2 mètres pour les mois : janvier, février et mars



RMSE (rouge) et BIAIS (bleue) des modèles Aladin\_dust (ligne continu) et Aladin\_Nodust (ligne discontinue) par rapport à l'analyse Arpège pour les échéances 12H (à gauche), 24H (au milieu) et 36H (à droite)